

کنترل بازخورد مرزی برای ریدیابی مسیر اجسام صلب در حضور تلاطم سیال کم عمق

میثم جوکار (دانشجوی دکترا)

حسن سالاریه^{*} (استاد)

حسین نجات پیش‌کناری (استاد)

دانشکده‌ی مهندسی مکانیک، دانشگاه صنعتی شریف

در این مقاله، مسئله طراحی کنترلر ریدیابی مسیر با در نظر گرفتن تلاطم سیال کم عمق برای اجسام صلب مورد بررسی قرار گرفته است. در این راستا، دینامیک سیال با معادلات هذلولوی سنت - ونانت مدل شده و این معادلات در کنار معادله‌ی دیفرانسیل معمولی جسم صلب، یک سیستم معادلات کوبیل و غیرخطی پاره‌یی - معمولی را تشکیل می‌دهند. هدف اصلی این پژوهش، طراحی یک کنترلر فیدبک مرزی نواوارانه برای غلبه بر خطای ریدیابی مسیر است. با اعمال نیروی کنترلی منحصرأ به جسم صلب، روش ارائه شده به طور مؤثری قادر است تمام حالات سیستم (بعد محدود و بی‌نهایت درجه آزادی) را پایدار کند. پیچیدگی اصلی این کنترلر این است که هیچ حسکری نباید در محدوده‌ی مایع نصب شود. در واقع، قانون کنترلی توسعه‌یافته برای محاسبه‌ی سیگال لحظه‌ی فقط به (الف) خطای ریدیابی جسم صلب و سرعت آن و (ب) فشار مایع در مرز سیال نیازمند است. پایداری مجانبی سیستم مدار سنته با استفاده از نظریه‌ی لیپاونوف و قضیه‌ی ناورداهی لاسال و بدون هیچگونه گسسته‌سازی، ساده‌سازی و خطی‌سازی تعاملی خواهد شد. از دیگر مزیت‌های کنترلر فیدبک مرزی می‌توان به رفتار گذرای بهتر آن در مقایسه با کنترلر تناسی - مشتقی مرتبط و مقاومت آن نسبت به تأخیر زمانی و عدم قطعیت اشاره کرد که با استفاده از شبیه‌سازی نشان داده می‌شوند.

meysam.jokar@mech.sharif.edu
salarieh@sharif.edu
nejat@sharif.edu

واژگان کلیدی: جسم صلب، تلاطم کم عمق، مدل سنت - ونانت، سیستم معادلات کوپل پاره‌یی - معمولی، کنترل بازخورد مرزی.

۱. مقدمه

۱.۱. مرور پژوهش‌های مرتبط

هنگامی که یک جسم صلب حاوی سیال تحت جابه‌جایی قرار می‌گیرد، حرکت سیال می‌تواند منجر به اعمال نیرو و گشتاور ناخواسته به جسم صلب و اثرکناری نامطلوب بر دینامیک و کنترل سیستم کلی شود. این نوع حرکت سیال را تلاطم^۱ سیال می‌نامند. پدیده‌ی تلاطم از گذشته تاکنون و در طیف وسیعی از مسائل مهندسی نظری ماهواره‌های^[۱-۴] خودرو،^[۵-۷] ربات^[۸] و کشتی^[۹] مورد توجه محققان بوده است. مدل استاندارد برای حرکت یک سیال با استفاده از سیستم معادلات دیفرانسیل پاره‌یی، غیرخطی و کوبیل ناوبر - استوکس به دست می‌آید که در حالت کلی، معادلاتی سهموی محسوب می‌شوند. اما در شرایطی که بعد افقی سیال در مقایسه با بعد

* نویسنده مسئول

تاریخ: دریافت ۱۶/۹/۱۴۰۱، اصلاحیه ۱۹/۱۰/۱۴۰۱، پذیرش ۲۵/۱۱/۱۴۰۱.

استناد به این مقاله:

جوکار، میثم، سالاریه، حسن، و نجات پیش‌کناری، حسین، ۱۴۰۲. کنترل بازخورد مرزی برای ریدیابی مسیر اجسام صلب در حضور تلاطم سیال کم عمق. مهندسی مکانیک شریف،

DOI:10.24200/J40.2023.61473.1661. ۹۱-۸۳، صص. ۲(۳۹).

و عمق سیال در تمام میدان سیال نیاز دارد و این موضوع امکان‌پذیری کنترل را به شدت پایین می‌آورد.^[۱]

در مقایسه با دیگر منابع،^[۲۵] در این پژوهش به جای استفاده از معادلات تاویر استوکس، از معادلات سنت - ونانت حاکم بر تلاطم کم عمق استفاده شده است. می‌توان نشان داد که با علم به شرایط کم عمقی سیال، میزان تلاش کنترلی برای پایدارسازی سیستم سیالاتی کمتر از حالتی است که معادلات کامل حاکم بر سیال در نظر گرفته شوند.^[۲۶] از طرف دیگر و از منظر ریاضی، در این شرایط معادلات پاره‌یی از نوع سهمی نبوده، بلکه از نوع هذلولوی هستند. بنابراین، با توجه به طبیعت نظریه‌ی کنترل پاره‌یی، تغییرات بسیار گسترده‌یی در روند طراحی و اثبات پایداری کنترل ایجاد خواهد شد؛

متفاوت از برخی منابع،^[۱۱] که در آنها کنترل‌هایی بر مبنای معادلات گسسته‌سازی شده (یا بر اساس دینامیک سیال صلب) طراحی شده است، کنترل ارائه شده در پژوهش حاضر، یک کنترل فیدبک مرزی است که علاوه بر موقعیت لحظه‌یی ارایه و خطای ردیابی، از اطلاعات مرزی سیال بهره می‌برد. این روش در مقایسه با کنترل تاسیسی - مشتقی (با پسخواراند از سرعت لحظه‌یی ارایه و خطای ردیابی)، رفتار گذرا بسیار بهتری دارد. بر اساس شبیه‌سازی‌ها مشخص می‌شود که این کنترلر نسبت به وجود عدم قطعیت و تأخیر در دینامیک سیستم مقاوم است. با استفاده از این روش می‌توان خطای ردیابی موقعیت ارایه و بینهایت حالت سیال را به صورت مجانی به سمت صفر میل داد. نیروی کنترلی توسعه داده شده فقط به ارایه وارد می‌شود و عملکردهای مرسم نظری یک رانشگر^۶ برای اعمال کنترلر کافی هستند. به عبارت بهتر، این کنترلر از نوع فیدبک مرزی است، نه مرزی.

۳.۱. ساختار مقاله‌ی حاضر

در این مقاله و در بخش ۲، پیش‌زمینه‌ی دینامیکی شامل معرفی معادلات سنت - ونانت و کوکر ارائه شده است. در ادامه و در بخش ۳، کنترلر موربد بحث طراحی شده و با استفاده از نظریه‌ی لیپاپوف، پایداری مجانی مدارسته اثبات شده است. در پایان این بخش، دو نکته‌ی بسیار مهم در ارتباط با تفاوت‌های کنترلر مرزی و بازخورد مرزی و سنسورهای لازم برای اجرای عملی روش ارایه شده مطرح شده است. در بخش ۴ و با استفاده از یک روش ابتکاری به طور کامل ضمیمی برای شبیه‌سازی عددی، کارایی کنترلر طراحی شده بررسی شده است. در پایان، نتیجه‌گیری در بخش ۵ ارایه می‌شود.

۲. پیش‌زمینه‌ی دینامیکی

در این بخش، توصیف ریاضی دینامیک افقی یک جسم صلب با حفره‌ی نیمه پر از یک سیال نیوتونی ارائه شده است. شکل ۱ نمایشی از سیستم مورد بحث است. در این شکل، دو دستگاه مختصات معرفی شده‌اند: یکی دستگاه اینرسی Oxy و دیگری دستگاه بدنی $h(t, \xi)$ و دستگاه دوم متصل به جسم صلب است. پارامترهای $t, x, g, m_b, h(t, \xi), f(t)$ به ترتیب نشان‌دهنده زمان، موقعیت افقی ارایه نسبت به مرجع ثابت، عمق سیال در حفره، جرم ارایه خالی از سیال، شتاب جهانی گرانش و نیروی کنترلی هستند. فشار نسبی هوای بالای سیال برابر با صفر فرض شده است. همچنین در این پژوهش، فرض بر این است که سیال کم عمق است. به عبارت دیگر، بعد افقی سیال بسیار بزرگ‌تر از بعد عمودی آن است. در

به ناپایداری اسپیل اور^۷ شود. در واقع، علاوه بر عوامل و اغتشاشات خارجی، کنترلر هم می‌تواند با تحریک مودهای مرتبه بالای مدل نشده، ناپایداری ایجاد کند.^[۱۴-۱۳] علاوه بر این مسئله، روش اشاره شده منجر به از دست رفتن دقت کنترلر می‌شود. این مسئله به خصوص در کاربردهای فضایی اهمیت بیشتری پیدا کرده است، زیرا نیاز به دقت و کنترل دقیق در این حوزه سیار بالاست.^[۱۵] بنابراین، در دوران اخیر پژوهش‌گران تمکرز بیشتری بر کنترلر سیستم‌های سیالاتی در فضای معادلات دیفرانسیل پاره‌یی داشته‌اند.^[۱۶-۲۰] با این حال، در پژوهش‌های اشاره شده و برای ساده شدن طراحی کنترلر، معادلات پاره‌یی حول یک نقطه‌ی تعادل خطی سازی شده‌اند و این موضوع به‌ویژه برای سیستم‌های غیرخطی سیالاتی، باعث از دست رفتن دقت و کلیت مسئله می‌شود.

نکته‌ی دیگری که باید در نظر گرفته شود این است که بسیاری از پژوهش‌های صورت گرفته در زمینه کنترل سیستم‌های سیالاتی، بدون در نظر گرفتن دینامیک جسم صلب حاوی سیال است.^[۲۱-۲۲] این در حالی است که از لحاظ مباحث ریاضی، اضافه شدن معادله دیفرانسیل معمولی دینامیک جسم صلب به معادلات سنت - ونانت، تأثیر بسیار زیادی در افزایش دقت و در عین حال، پیچیدگی روند اثبات پایداری کنترلر طراحی شده دارد.

به تازگی، بخشی از نواقص اشاره شده با طراحی یک کنترلر مبتنی بر معادلات ناویر - استوکس برای حرکت وضعی یک ماهواره در حضور تلاطم سوخت، پوشش داده شده است.^[۱] در پژوهش اشاره شده، ابتدا معادلات حاکم بر دینامیک وضعیت ماهواره و سوخت مابع با استفاده از اصل همیلتون استخراج شده‌اند. در ادامه، بدون ساده‌سازی معادلات، یک کنترلر لیپاپوف - مبنای طراحی شده است. کنترلر طراحی شده، یک کنترلر بازخورد مرزی^۸ نیست. به عبارت بهتر، برای محاسبه‌ی سیگنال لحظه‌یی کنترلر، هیچ اطلاعاتی از مرز سیال به کار گرفته نمی‌شود و همین موضوع باعث پایین آمدن کیفیت پاسخ گذرا سیستم مدار بسته می‌شود. منظور از کنترل فیدبک مرزی این است که مشابه کنترل فیدبک مرسم در سیستم‌های بعد محدود،^[۲۳-۲۴] فیدبک از بخش بعد نامحدود (پارامترهای مرزی سیال) گرفته می‌شود. اما نیروی کنترلی به بخش دیگری از سیستم یعنی بخش بعد محدود (جسم صلب) وارد می‌شود.

۱. نوآوری‌ها

با تأکید بر پژوهش‌های اشاره شده، در پژوهش حاضر، یک کنترلر فیدبک مرزی ردیابی موقعیت مبتنی بر معادلات دیفرانسیل پاره‌یی سیال و معادله‌ی یک بعدی حرکت انتقالی جسم صلب در برگیرنده‌ی آن توسعه داده می‌شود. معادلات ترکیبی مذبور در فرایند طراحی کنترلر به هیچ وجه گسسته‌سازی و خطی‌سازی نمی‌شوند. در سیستم مورد مطالعه، یک ارایه به عنوان جسم صلب دارای یک حفره‌ی نیمه پر از یک سیال نیوچرنی، تراکم ناپذیر و کم عمق انتخاب شده است. ارایه محدود به حرکت در راستای x محور مختصات کارتزین است. به طور خلاصه و در مقایسه با پژوهش‌های موجود، نوآوری‌های پژوهش حاضر عبارتند از:

- برخلاف برخی از پژوهش‌های اخیر^[۲۲-۲۱] که ظرف حاوی سیال را بدون جرم فرض کرده‌اند، در این پژوهش، دینامیک جسم صلب در نظر گرفته شده است. بنابراین، معادلات حاکم بر مسئله شامل دو معادله‌ی پاره‌یی حاکم بر حرکت سیال (معادلات هذلولوی سنت - ونانت) و یک معادله‌ی معمولی حاکم بر حرکت افقی ارایه می‌شود. این معادلات، غیرخطی و کوبل هستند. همچنین در مراجع اشاره شده، قانون کنترلی برای محاسبه‌ی لحظه‌یی سیگنال کنترلر به اندازه‌گیری سرعت

یک کنترلر فیدبک مرزی مبتنی بر معادلات ۱ تا ۵ است به طوری که سیستم مدار بسته پایدار بماند، جسم صلب به موقعیت افقی دلخواه برود و بینهایت مود ارتعاشی سیال صفر شوند.

۲.۳. کنترلر و اثبات پایداری لیپانوف

برای احراز اهداف اشاره شده در زیر بخش قبل و بر اساس معادلات ۱ تا ۵، نیروی کنترلی زیر پیشنهاد می‌شود که مطابق شکل ۱، به جسم صلب وارد می‌شود:

$$f(t) = \left(k_1 + k_2 \frac{\partial}{\partial t} \right) \cdot f_l - k_p e_x - k_d \dot{x} \quad (6)$$

در رابطه‌ی بالا، $k_1 > -1$ و $k_2, k_p, k_d > 0$ عملکرمشتق زمانی، ثابت، $e_x = x - x_{des}$ خطای ردیابی مسیر و x_{des} موقعیت افقی دلخواه هستند. در واقع k_p, k_d ضرایب بخش تابعی - مشتقی (PD) کنترلر پیشنهادی هستند. همچنین داریم:

$$f_l = \rho g \int_{\xi}^l h h \xi d\xi \quad (7)$$

با استفاده از انتگرال جز به جز می‌توان نوشت:

$$f_l = \frac{1}{2} \rho g \left[h^*(t, l) - h^*(t, 0) \right] \quad (8)$$

قضیه (نتیجه‌ی اصلی): پس از در نظر گرفتن سیستم دینامیکی توصیف شده با معادلات ۱ تا ۵، فرض می‌شود که نیروی کنترلی $f(t)$ مطابق معادله ۶ باشد. در این صورت، تمام حالات سیستم شامل $(e_x, \dot{x}, h, \frac{m_l}{\rho l}, U)$ به صورت مجانبی به سمت صفر میل می‌کنند.

اثبات: تحلیل پایداری سیستم معادلات ۱ تا ۵ تحت نیروی کنترلی معادله ۶ با استفاده تابع کاندیدای لیپانوف زیر انجام می‌شود:

$$V(t) = V_a(t) + V_b(t) + V_c(t) \quad (9)$$

که در آن:

$$V_a(t) = \int_{\xi}^l \left[\frac{1}{2} \rho h (U + \dot{x})^2 + \frac{1}{2} \rho g \bar{h}^2 \right] d\xi \quad (10)$$

$$V_b(t) = \frac{1}{2} \Delta^2 \quad (11)$$

$$V_c(t) = \frac{1}{2} \alpha_1 e_x^2 \quad (12)$$

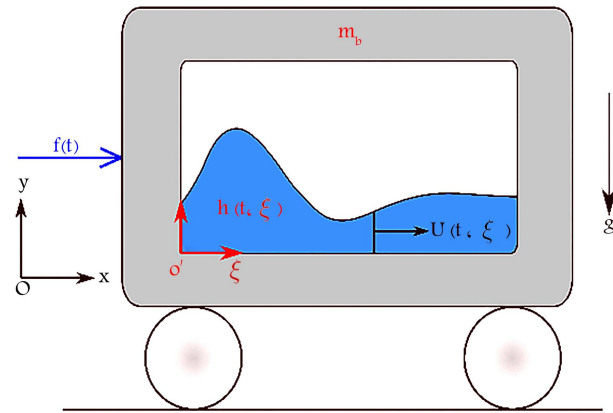
در معادلات بالا و معادله ۱۳، α_1 و α_2 دو ثابت مثبت هستند و:

$$\Delta = m_b \dot{x} + \alpha_2 (-f_l + \alpha_1 e_x) \quad (13)$$

$$\bar{h} = h - h^*; h^* = \frac{m_l}{\rho l} \quad (14)$$

رابطه ۱۳، مربوط به محاسبه Δ ، برای ایجاد ترم‌های مرزی در کنترلر، به تابع کاندیدای لیپانوف معادله ۹ اضافه شده است. در بخش شیوه‌سازی مشخص می‌شود که ترم‌های مرزی، رفتار گزاری سیستم مدار بسته را به طور مؤثری بهبود می‌دهند. واضح است که تابع لیپانوف معادله ۹ مثبت معین است. مشتق این تابع از تساوی زیر به دست می‌آید:

$$\dot{V}(t) = \dot{V}_a(t) + \dot{V}_b(t) + \dot{V}_c(t) \quad (15)$$



شکل ۱. تعریف دستگاه‌های مختصات و پارامترهای سیستم.

این شرایط، شتاب عمودی سیال برابر با صفر خواهد بود. فرضیات دیگر این مسئله، تراک ناپذیری و غیرلزج (اما چرخشی) بودن سیال است.

بر اساس فرضیات بالا، معادلات حرکت سیال کم عمق، معروف به معادلات سنت - ونانت به صورت زیر به دست می‌آیند:^[۲]

$$h_t + h U_\xi + U h_\xi = 0 \quad (1)$$

$$U_t + U U_\xi + g h_\xi = -\ddot{x} \quad (2)$$

در روابط بالا، h_t مشتق نسبت به زمان و U_ξ مشتق نسبت به بعد افقی حفره هستند. دو معادله‌ی پاره‌بی، هذلولی و غیرخطی بالا، با معادله‌ی حاکم بر حرکت افقی ارابه موسوم به عبارت کوپل^۷ کوبن هستند:^[۲]

$$m_b \ddot{x} = \frac{1}{2} \rho g \left[h^*(t, l) - h^*(t, 0) \right] + f(t) \quad (3)$$

معادلات ۱ تا ۳ یک سیستم معادلات کوپل هستند و این گونه سیستم‌ها در ادبیات کنترل با عنوان آبشار پاره‌بی - معمولی^۸ شناخته می‌شوند. شرایط مرزی را می‌توان به صورت زیر نوشت:

$$U(t, 0) = U(t, l) = 0 \quad (4)$$

و شرط پیوستگی (عدم ریزش^۹) با فرض بعد واحد در راستای عمود بر صفحه به شکل زیر برقرار است:

$$\int_{\xi}^l \rho h d\xi = m_l = cte. \quad (5)$$

در روابط بالا، m_l و U به ترتیب بیانگر جرم سیال، طول افقی حفره، سرعت افقی سطح آزاد سیال و چگالی سیال هستند.

۳. طراحی سیستم کنترلی

این بخش به معرفی اهداف کنترلی، پیشنهاد رابطه‌ی کنترلر و اثبات پایداری آن تحت نظریه‌ی پایداری لیپانوف اختصاص دارد.

۳.۱. اهداف کنترلی

در این پژوهش، مسئله‌ی حرکت افقی یک جسم صلب دارای حفره‌ی نیمه پراز سیال با تلاطم کم عمق بررسی شده است. هدف اصلی کنترلی در این مقاله، طراحی

۳.۳. اثبات پایداری مجانبی سیستم مداربسته

گزاره: با توجه به نامساوی ۲۴، می‌توان نتیجه گرفت که پایداری لیپانوف برقرار است. به عبارت دیگر، تمام متغیرهای موجود درتابع لیپانوف ۹ شامل (e_x, \dot{x}, \bar{h}, U) محدود باقی می‌مانند. برای اثبات پایداری مجانبی این متغیرها از قضیه ناوردای لاسال^{۱۰} استفاده می‌کنیم.^[۲۷] بر طبق این قضیه، تمام پاسخ‌های سیستم معادلات ۱ تا ۵ تحت نیروی کنترلی معادله ۶ به صورت مجانبی به سمت مجموعه ناوردای زیر همگرا می‌شود:

$$S_i = \left\{ e_x, \dot{x}, \bar{h}, U \mid \dot{V}(t) = 0 \right\} \quad (25)$$

شرط لازم برای برقراری تساوی $\dot{V}(t) = 0$ عبارتند از:

$$\Delta = 0 \quad (26)$$

$$\dot{x} = 0 \quad (27)$$

در این شرایط، نیروی کنترلی برابر است با:

$$f(t) = -f_l + \alpha_1 \frac{\partial f_l}{\partial t} \quad (28)$$

با قرار دادن معادله ۲۸ در معادله ۳ و استفاده از معادلات ۷ و ۸ داریم:

$$\frac{\partial}{\partial t} \int_{\xi}^l h h_{\xi} d\xi = 0 \quad (29)$$

بنابراین، می‌توان نتیجه گرفت که h تابعی از زمان نبوده و در واقع $(\xi) = h$ است. حال با استفاده از معادله ۱ می‌توان نوشت:

$$(hU)_{\xi} = 0 \rightarrow U(t, \xi) = \frac{C(t)}{h(\xi)} \quad (30)$$

و در آن، $C(t)$ تابعی از زمان است و از شرایط مرزی تعیین می‌شود. تساوی دوم معادله ۳۰ باید در همه زمان‌ها برقرار باشد. بنابراین، با استفاده از شرایط مرزی معادله ۴ می‌توان نتیجه گرفت که $C(t) \equiv 0$. $U(t, \xi) \equiv 0$. با جایگذاری در معادله ۲ و استفاده از معادله ۵ داریم:

$$gh_{\xi} = 0 \rightarrow h(t, \xi) = cte. = h^* \quad (31)$$

در انتهای و با استفاده از معادلات ۷، ۱۳، ۲۶، ۲۷، ۲۶ و ۳۱، تساوی زیر نتیجه می‌شود:

$$e_x = 0 \quad (32)$$

پس می‌توان دریافت که تنها عضو مجموعه ناوردای ۲۵ برابر است با:

$$S_i = \{e_x, \dot{x}, \bar{h}, U\} = \{0\} \quad (33)$$

بنابراین، قانون کنترل فیدبک مرزی طراحی شده، پایداری مداربسته و همگرایی مجانبی تمام حالت سیستم شامل خطای ردیابی مسیر و تلاطم سیال را تضمین می‌کند و قضیه اثبات می‌شود.

نکته‌ی ۱: همانطور که پیشتر اشاره شد، کنترلر طراحی شده در این پژوهش از نوع فیدبک مرزی است، نه مرزی. به عبارت دیگر، برای اعمال کنترلر و محاسبه سیگنال لحظه‌یی کنترلری، برخی از پارامترهای مرزی سیال باید محاسبه شوند، اما هیچگونه عملگری در مرز سیال وجود ندارد. در واقعیت، عملگرهای مرزی، امکان‌پذیری کنترلر را کاهش می‌دهند. بنابراین، برای اعمال کنترلر طراحی شده در این پژوهش، استفاده

جمله‌ی اول سمت راست معادله ۱۵ با استفاده از معادله ۱۰ برابر است با:

$$\begin{aligned} \dot{V}_a(t) &= \int_{\xi}^l \frac{1}{\tau} \rho h_t (U + \dot{x})^T d\xi \\ &+ \int_{\xi}^l \rho h (U + \dot{x}) (U_t + \ddot{x}) d\xi \\ &+ \int_{\xi}^l [\rho g h h_t - \rho g h^* h_t] d\xi \end{aligned} \quad (16)$$

با جایگذاری معادلات ۱ و ۲ در تساوی بالا، استفاده از معادله ۵ و کمی ساده‌سازی ریاضی داریم:

$$\begin{aligned} \dot{V}_a(t) &= \rho \int_{\xi}^l \left(-\frac{\tau}{\tau} h U^T U_{\xi} - \frac{\tau}{\tau} U^T h_{\xi} \right) d\xi \\ &+ \rho \int_{\xi}^l (-2\dot{x} h U U_{\xi} - \dot{x} U^T h_{\xi}) d\xi \\ &+ \rho \int_{\xi}^l (-2g U h h_{\xi} - g h^T U_{\xi} - g \dot{x} h h_{\xi}) d\xi \end{aligned} \quad (17)$$

و با استفاده از انتگرال جز به جز، عبارت زیر به دست می‌آید:

$$\dot{V}_a(t) = -\rho g \dot{x} \int_{\xi}^l h h_{\xi} d\xi \quad (18)$$

با استفاده از معادلات ۳ و ۱۱، جمله‌ی دوم سمت راست معادله ۱۵ را می‌توان به صورت زیر نوشت:

$$\begin{aligned} \dot{V}_b(t) &= \Delta \dot{\Delta} \\ &= \Delta \left[f_l + f(t) - \alpha_1 \frac{\partial f_l}{\partial t} + \alpha_1 \alpha_2 \dot{x} \right] \end{aligned} \quad (19)$$

در نهایت، جمله‌ی سوم سمت راست معادله ۱۵ عبارت است از:

$$\dot{V}_c(t) = \alpha_1 e_x \dot{x} \quad (20)$$

با جایگذاری معادلات ۱۸ تا ۲۰ در معادله ۱۵ و با یادآوری تساوی معادله ۷، داریم:

$$\begin{aligned} \dot{V}(t) &= -f_l \dot{x} + \alpha_1 e_x \dot{x} \\ &+ \Delta \left[f_l + f(t) - \alpha_1 \frac{\partial f_l}{\partial t} + \alpha_1 \alpha_2 \dot{x} \right] \end{aligned} \quad (21)$$

حال، نیروی کنترلی به صورت زیر انتخاب می‌شود:

$$\begin{aligned} f(t) &= -f_l + \alpha_1 \frac{\partial f_l}{\partial t} - \alpha_1 \alpha_2 \dot{x} \\ &- \frac{1}{\alpha_1} \dot{x} - \alpha_2 \Delta \end{aligned} \quad (22)$$

که در آن، α_2 یک ثابت مشیت است. داریم:

$$k_1 = \alpha_2 \alpha_1 - 1 > -1$$

$$k_2 = \alpha_1 > 0$$

$$k_p = \alpha_1 \alpha_2 \alpha_1 > 0$$

$$k_d = \alpha_1 \alpha_2 + \alpha_2 m_b + \frac{1}{\alpha_1} > 0 \quad (23)$$

بنابراین با استفاده از معادلات ۱۳، ۲۲ و ۲۳ به نیروی کنترلی پیشنهاد شده در معادله ۶ می‌رسیم. اگر معادله ۲۲ را در معادله ۲۱ جایگذاری کنیم، تساوی زیر برای مشتق تابع لیپانوف حاصل می‌شود که منفی نیمه معین است:

$$\dot{V}(t) = -\alpha_2 \Delta^2 - \frac{m_b}{\alpha_1} \dot{x}^2 \leq 0 \quad (24)$$

دقت این روش در فضا و زمان از مرتبه‌ی دو است. در این روش، محور ξ (سطح آزاد سیال)، به $1 - J$ قسمت با طول $(1 - J)/l = \Delta\xi$ تقسیم می‌شود و

$$\xi_j = j - 1, \quad j = 1, 2, \dots, J \quad (39)$$

$$t_n = n\Delta t; \quad n = 0, 1, 2, \dots$$

$$h_j^n = h(t_n, \xi_j); \quad U_j^n = U(t_n, \xi_j) \quad (40)$$

برای گسسته‌سازی معادلات ۱ تا ۳، مشتقات مکانی با تفاضلات مرکزی و مشتقات زمانی با تفاضلات پیشرو تقریب زده می‌شوند. در این صورت، فرم گسسته‌ی معادلات

۱ تا ۳ به شکل زیر خواهد بود:

$$\frac{h_j^{n+1} - h_j^n}{\Delta t} + \tilde{U}_j \frac{h_{j+1}^{n+1} - h_{j-1}^{n+1}}{2\Delta\xi} + \tilde{h}_j \frac{U_{j+1}^{n+1} - U_{j-1}^{n+1}}{2\Delta\xi} = 0 \quad (42)$$

$$\frac{U_j^{n+1} - U_j^n}{\Delta t} + \tilde{U}_j \frac{U_{j+1}^{n+1} - U_{j-1}^{n+1}}{2\Delta\xi} + g \frac{h_{j+1}^{n+1} - h_{j-1}^{n+1}}{2\Delta\xi} = -\frac{1}{m_b} [f_l(t) + f(t)] \quad (43)$$

$$m_b \ddot{x} = f_l(t) + f(t) \quad (44)$$

کمیت‌های دارای علامت \sim ، مقادیر میانی ضرایب غیرخطی هستند. برای تقابل با این غیرخطی‌گری‌ها، در هرگام زمانی فرض می‌شود که $\tilde{U}_j = U_j^n$ و $\tilde{h}_j = h_j^n$. در این صورت، تخمینی برای h_j^{n+1} و U_j^{n+1} حاصل شده و مقادیر \tilde{h}_j و \tilde{U}_j به روزرسانی می‌شوند. این فرایند تا زمانی ادامه می‌یابد که اختلاف مقادیر لحظه‌ی و آخر h و U به اندازه‌ی دلخواهی کوچک شود. سیستم گسسته‌سازی شده به صورت بلوک سه‌قطري زیر قابل بازنويسي است:

$$-\tilde{\mathbf{A}}_j^{n+1} \mathbf{z}_{j-1}^{n+1} + \mathbf{B}^{n+1} \mathbf{z}_j^{n+1} + \tilde{\mathbf{A}}_j^{n+1} \mathbf{z}_{j+1}^{n+1} = \begin{bmatrix} 1 & 0 \\ 0 & 1 \end{bmatrix} \mathbf{z}_j^n + \alpha^n \Delta t \begin{bmatrix} 0 \\ 1 \end{bmatrix} \quad (45)$$

و در آن،

$$\mathbf{z}_j^n = \begin{bmatrix} h_j^n \\ U_j^n \end{bmatrix} \quad (46)$$

$$\tilde{\mathbf{A}}_j^{n+1} = \frac{\Delta t}{2\Delta\xi} \begin{bmatrix} \tilde{U}_j & \tilde{h}_j \\ g & \tilde{U}_j \end{bmatrix}; \quad \mathbf{B}^{n+1} = \begin{bmatrix} 1 & 0 \\ 0 & 1 \end{bmatrix} \quad (47)$$

$$\alpha^n = f_l(t) + f(t) \quad (48)$$

برای استخراج معادلات گسسته در نقاط مرزی ۱ تا J ، از شرایط مرزی استفاده شده است. شرط مرزی در $x = 0$ عبارت است از $U = 0$. مدل گسسته‌ی این شرط به صورت زیر است:

$$U_1^n = 0; \quad \frac{U_1^n + U_2^n}{2} = 0 \quad (49)$$

که در آن، U_1^n یک نقطه‌ی مجازی در فاصله‌ی $\Delta\xi$ سمت چپ $x = 0$ است. برای محاسبه‌ی شرط مرزی h در $x = 0$ از قانون پایستگی جرم استفاده شده است:

$$h_t + \tilde{h} U_x = 0 \rightarrow \frac{h_1^{n+1} - h_1^n}{\Delta t} + \tilde{h}_1 \frac{U_1^{n+1}}{\Delta\xi} = 0 \quad (50)$$

از عملگرهایی نظیر رانشگرها که فقط به جسم صلب نیرو اعمال می‌کنند، کافی هستند:

نکته‌ی ۲: دو مجموعه حسگر برای محاسبه‌ی سیگنال لحظه‌ی کنترلر فیدبک مرزی ارائه شده لازم است. یک مجموعه برای اندازه‌گیری متغیرهای زمانی نظیر موقعیت و سرعت لحظه‌ی ارایه به کار می‌رود و مجموعه دیگر برای متغیرهای مکانی - زمانی مورد استفاده قرار می‌گیرد. به عنوان سنسورهای مجموعه اول، می‌توان از پتانسیومتر و انکوادر استفاده کرد. برای معرفتی سنسورهای دسته‌ی دوم، ابتدا در مورد جمله‌ی f_l بیشتر توضیح داده می‌شود. با استفاده از مکانیک سیالات و در دیدگاه اویلرین، معادلات موتور موتور برای سیال تراکم ناپذیر و غیر لزج در دستگاه بدنی جسم صلب حاوی آن عبارت است از:^[۲۶]

$$\frac{Du}{Dt} + \frac{1}{\rho} \frac{\partial p}{\partial \xi} = -\ddot{x} \quad (34)$$

$$\frac{Dv}{Dt} + \frac{1}{\rho} \frac{\partial p}{\partial y} = -g \quad (35)$$

در روابط بالا، p فشار، u سرعت در راستای محور ξ ، v سرعت در راستای محور y و D/Dt مشتق کلی سیال نسبت به زمان هستند. حال با استفاده از قانون دوم نیوتن می‌توان نوشت:

$$\frac{d}{dt} \left[\int_{\xi_i}^l \int_{\xi}^h \rho u dy d\xi + (m_l + m_b) \dot{x} \right] = f(t) \quad (36)$$

جمله‌ی اول سمت چپ به صورت زیر قابل ساده‌سازی است:

$$\begin{aligned} \frac{d}{dt} \int_{\xi_i}^l \int_{\xi}^h \rho u dy d\xi &= \int_{\xi_i}^l \int_{\xi}^h \rho \frac{D_u}{Dt} dy d\xi \\ &= \int_{\xi_i}^l \int_{\xi}^h \left(-\frac{\partial p}{\partial \xi} - \rho \ddot{x} \right) dy d\xi \\ &= -m_l \ddot{x} - \int_{\xi_i}^l \left(\frac{\partial}{\partial \xi} \int_{\xi}^h p dy \right) d\xi \\ &\quad + \int_{\xi_i}^l p(t, \xi, h(t, \xi)) h \xi d\xi \\ &= -m_l \ddot{x} - \int_{\xi_i}^h p dy \Big|_{\xi=l}^{\xi=i} \end{aligned} \quad (37)$$

در رابطه‌ی بالا، برای تساوی دوم از معادله‌ی ۳۴، برای تساوی سوم از قضیه‌ی انتقال رینولدز و برای تساوی آخر از فرض فشار نسیبی صفر در هوای محبوس در حفره استفاده شده است. حال با جایگذاری نتیجه‌ی معادله ۳۷ در معادله ۳۶ و مقایسه با معادلات ۳ و ۸ داریم:

$$f_l = \int_{\xi_i}^h p dy \Big|_{\xi=l} - \int_{\xi_i}^h p dy \Big|_{\xi=i} \quad (38)$$

با توجه به تساوی بالا، نتیجه می‌شود که برای سنجش پارامترهای مرزی سیال، فقط کافیست از سنسور فشارسنج استفاده شود. بدین معنی، برای محاسبه‌ی سیگنال لحظه‌ی کنترلر، می‌توان از تعداد محدودی فشارسنج ساده در دو مرز چپ و راست حفره بهره برد و به کمک درون‌یابی، داده‌های مرز را در هر نقطه‌ی تعیین کرد.

۴. شبیه‌سازی

در این بخش، با استفاده از حل معادلات ۱ تا ۵ تحت نیروی کنترلی معادله ۶، به بررسی عملکرد کنترلر ارائه شده پرداخته شده است.

۴.۱. روش حل

برای حل سیستم معادلات کوبل درگیر (شامل دو معادله‌ی پاره‌ی هذلولی و یک معادله‌ی معمولی)، یک روش ابتکاری به طور کامل ضممنی^[۱] به کار گرفته شده است.

به همین ترتیب و برای $x = 1$ می‌توان نوشت:

$$U_J^n = \circ; \frac{U_{J-1}^n + U_{J+1}^n}{2} = \circ \quad (51)$$

$$h_t + \tilde{h} U_\xi = \circ \rightarrow \frac{h_J^{n+1} - h_J^n}{\Delta t} - \tilde{h}_J \frac{U_{J-1}^{n+1}}{\Delta \xi} = \circ \quad (52)$$

که در آن، U_{J+1}^n یک نقطه‌ی مجازی در فاصله‌ی $\Delta \xi$ سمت راست $x = 1$ است.

ترکیب معادلات ۴۹ و ۵۰ و همچنین معادلات ۵۱ و ۵۲ به تساوی‌های زیر منتهی می‌شود:

$$z_1^{n+1} + \frac{\tilde{h}_1 \Delta t}{\Delta \xi} \begin{bmatrix} 0 & 1 \\ 0 & 0 \end{bmatrix} z_1^{n+1} = \begin{bmatrix} 1 & 0 \\ 0 & 0 \end{bmatrix} z_1^n \quad (53)$$

$$-\frac{\tilde{h}_J \Delta t}{\Delta \xi} \begin{bmatrix} 0 & 1 \\ 0 & 0 \end{bmatrix} z_{J-1}^{n+1} + z_J^{n+1} = \begin{bmatrix} 1 & 0 \\ 0 & 0 \end{bmatrix} z_J^n \quad (54)$$

مجموعه‌ی معادلات ۴۵، ۵۳ و ۵۴، در هر گام زمانی ۲.۷ معادله با ماتریس ضرباب سه‌قطري را تشکيل می‌دهد. در هر مرحله، سیستم معادلات مزبور به روش گاووس - جوردن و معادله‌ی معمولی دینامیک سیستم (معادله‌ی ۴۴) به روش رانگ - کوتا حل می‌شوند. روش ارائه شده، یک روش به‌طور کامل ضمنی و به لحاظ ساختاری، اتلافی 10^{-12} است.

۲.۴. پارامترهای سیستم و ضرباب کنترلی

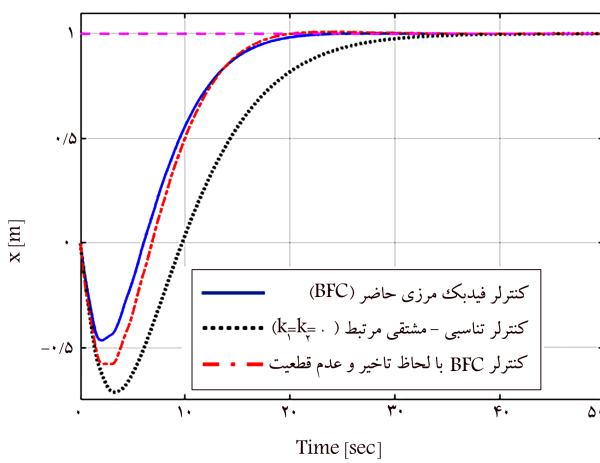
پارامترهای فیزیکی سیستم در نظر گرفته شده و ضرباب کنترلر فیدبک موزی توسعه داده شده به ترتیب در جداول ۱ و ۲ نشان داده شده‌اند.^[۲] همچنین، گام زمانی و گام مکانی به ترتیب 10^{-1} ثانیه و $8/10$ سانتیمتر در نظر گرفته شده است. ضرباب کنترلی به نحوی انتخاب شده‌اند که پاسخ گذراي مطلوب به دست آيد. این ضرباب باید شرایط معادله ۲۳ را احراز کنند. روش‌های متعددی برای تنظیم این ضرباب وجود دارد که بر اساس اعمال محدودیت بر روی پارامترهای پاسخ گذراي سیستم نظری انحراف معیار خطای RMS و زمان نشست هستند. اطلاعات تکیمی در مراجع ارائه شده است.^[۲۴، ۲۵] توجه به این نکته ضروری است که گسته‌سازی معادلات در

جدول ۱. پارامترهای فیزیکی سیستم شامل شرایط اولیه.

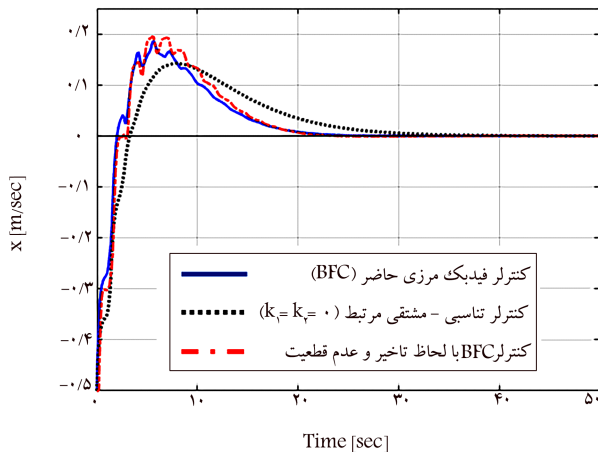
پارامتر	مقدار
m_b	$15Kg$
ρ	$1000 Kg.m^{-3}$
l	$8 cm$
$x(^o)$	$^o m$
$\dot{x}(^o)$	$-^o / 5 m.sec^{-1}$
$U(^o, x)$	$^o m.sec^{-1}$
$h(^o, x)$	$4cm$

جدول ۲. ضرباب کنترلر فیدبک موزی طراحی شده.

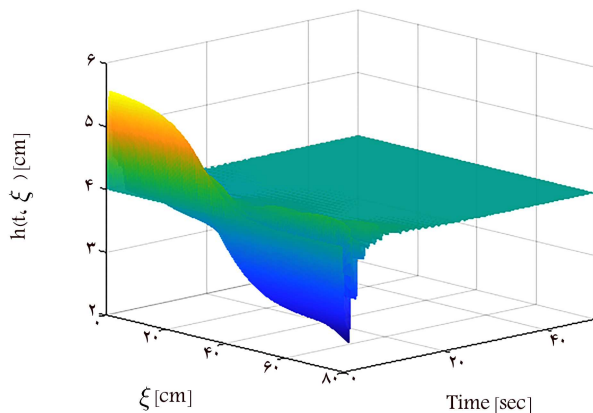
پارامتر	مقدار
k_1	2
k_2	$10 sec^{-1}$
k_p	$4 N.m^{-1}$
k_d	$25 N.sec.m^{-1}$
x_{des}	$1m$



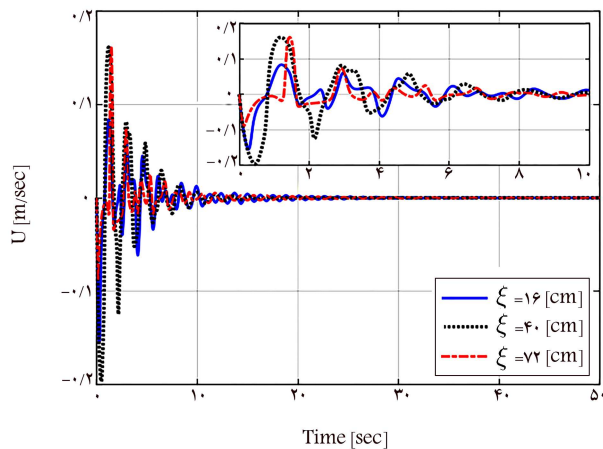
شکل ۲. موقعیت جسم صلب به صورت تابعی از زمان تحت کنترلر فیدبک موزی طراحی شده بدون تأخیر و عدم قطعیت (آبی ممتد)، بخش تابعی - مشتقی کنترلر طراحی شده بدون تأخیر و عدم قطعیت (سیاه نقطه‌چین) و کنترلر فیدبک موزی طراحی شده با تأخیر و عدم قطعیت (قرمز نقطه خط).



شکل ۳. سرعت خطی جسم صلب به صورت تابعی از زمان تحت کنترلر فیدبک موزی طراحی شده بدون تأخیر و عدم قطعیت (آبی ممتد)، بخش تابعی - مشتقی کنترلر طراحی شده بدون تأخیر و عدم قطعیت (سیاه نقطه‌چین) و کنترلر فیدبک موزی طراحی شده با تأخیر و عدم قطعیت (قرمز نقطه خط).



شکل ۵. عمق سیال درون حفره تحت کنترلر فیدبک مرزی به صورت تابعی از بعد افقی حفره و زمان.

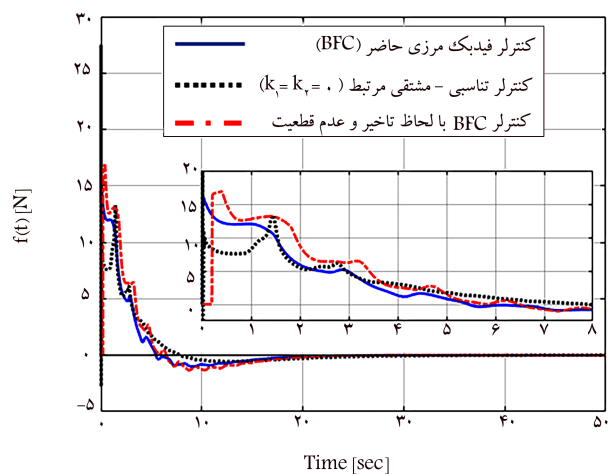


شکل ۶. سرعت سطح آزاد سیال درون حفره تحت کنترلر فیدبک مرزی بر حسب زمان در سه نقطه $\xi = 16 \text{ cm}$, $\xi = 40 \text{ cm}$, $\xi = 72 \text{ cm}$ (سیاه نقطه خط).

خود (h^*) نشان می‌دهد. نکته‌ی مهم دیگر این نمودار، اثبات معادله ۵ در هر لحظه از زمان است. در نهایت و در شکل ۶، نمودار سرعت سیال در سه نقطه از سطح آزاد به صورت تابعی از زمان آورده شده است. نمودار مابقی نقاط سطح آزاد نیز این چنین رفتاری دارد. همان‌طور که مشاهده می‌شود، بعد از حدود ۱۰ ثانیه، سرعت سطح آزاد و در ادامه آن سرعت تمام المان‌های سیال (به دلیل فرض شتاب عمودی صفر در سیال کم عمق) به صفر می‌رسد.

۵. نتیجه‌گیری

در این مقاله به مسئله‌ی کنترل ردیابی مسیر برای یک جسم صلب با وجود تلاطم سیال کم عمق پرداخته شده است. به طور خلاصه، حرکت افقی یک جسم صلب دارای حفره در نظر گرفته شد؛ به طوری که حفره نیمه‌پرازیک سیال نیوتونی، تراکم ناپذیر، غیرلزج (اما چرخشی) و کم عمق است. سیستم معادلات حاکم بر مسئله‌ی میزبان را شامل دو معادله‌ی دیفرانسیل پاره‌یی، غیرخطی و هذلولوی موسوم به معادلات سنت-ونانت (حاکم بر دینامیک سیال) و یک معادله‌ی معمولی (حاکم بر دینامیک جسم صلب) می‌شود. بنابراین، این معادلات یک سیستم کوپل پاره‌یی - معمولی را تشکیل



شکل ۴. کنترلر فیدبک مرزی طراحی شده بدون تأخیر و عدم قطعیت (آبی ممتدا)، بخش تابعی - مشتقی کنترلر طراحی شده بدون تأخیر و عدم قطعیت (سیاه نقطه خط) و کنترلر فیدبک مرزی طراحی شده با تأخیر و عدم قطعیت (قرمز نقطه خط).

جدول ۳. مشخصات پاسخ گذاری سیستم مداربسته تحت کنترلر فیدبک مرزی (BFC) و تابعی - مشتقی مرتبط (PD) و فیدبک مرزی با تأخیر و عدم قطعیت (BFC - DU).

BFC - DU	PD	BFC	کنترلر
۱۸/۱۲ sec	۳۰/۷۷ sec	۱۹/۶۷ sec	زمان نشست (%)
% ۵۷/۸۴	% ۷۱/۳	% ۴۶/۵	بیشینه‌ی فروجehش
۰/۵۵۲	۰/۶۹۲	۰/۵۰۳	خطای RMS
۱۶/۹ N	۲۷/۵ N	۱۶/۵ N	$\max_t f(t) $

۴.۴. نتایج و مقایسه

شکل ۲، نمودار موقعیت لحظی جسم صلب را تحت کنترلر فیدبک مرزی و همچنین مزیت نسبی کنترلر فیدبک مرزی در رفتار گذراي سیستم مداربسته دارد. نمودار به خوبی نمایشگر مزیت نسبی کنترلر فیدبک مرزی در شرایط وجود تأخیر و عدم قطعیت در ضمن، در این شکل وجود اندازی فراجهش در شرایط وجود تأخیر و عدم قطعیت مشهود است. در شکل ۳، نمودار سرعت خطی جسم صلب بر حسب زمان تحت دو کنترلر مورد بحث و همچنین در حالت حضور تأخیر و عدم قطعیت نشان داده شده است.

نمودار تلاش کنترلی برای کنترلر فیدبک مرزی در حضور و عدم حضور تأخیر و عدم قطعیت و همچنین کنترلر تابعی - مشتقی مریبوط، در شکل ۴ آورده شده است. مطابق شکل، تلاش کنترلر فیدبک مرزی، کمی سریع‌تر از بقیه همگرا می‌شود. نکته‌ی دیگر این است که ضرایب کنترلر انتخاب شده در جدول ۲، از عبور تلاش کنترلر فیدبک مرزی از حد ۱۶/۵ نیوتون جلوگیری می‌کند که ۴۰ درصد از مقدار بیشینه‌ی کنترلر تابعی - مشتقی مریبوط، کمتر است. برای مقایسه‌ی بهتر دو کنترلر فیدبک مرزی و تابعی - مشتقی، برخی از مشخصات پاسخ گذراي سیستم مداربسته (شامل زمان نشست،^{۱۳} بیشینه‌ی فروجehش،^{۱۴} خطای RMS و مقدار بیشینه‌ی سیگنال کنترلر) تحت این دو کنترلر و همچنین کنترلر فیدبک مرزی با تأخیر و عدم قطعیت، در جدول ۳ آورده شده است که نتایج ذکر شده را تأیید می‌کند.

شکل ۵ نمایشی از عمق سیال درون حفره تحت کنترلر فیدبک مرزی طراحی شده است. این شکل به خوبی رفتار مجانبی عمق سیال را به سمت حالت پایای

و به هیچ عملگری در محدوده سیال نیازی نیست. (ج) رفتار گذراي مدار بسته تحت کنترل ارائه شده بسیار بهتر از رفتار گذرا تحت کنترل تناوبی - مشتقی است. (د) روش ارائه شده نسبت به وجود تأخیر زمانی در اعمال کنترل و عدم قطعیت در پارامترهای سیستم، مقاوم است. طراحی یک مشاهده‌گر مرزی برای حذف فشارسنج در مرز سیال می‌تواند موضوعی چالش برانگیز برای پژوهش‌های آینده، استخراج یک کنترلر مقاوم دیگر از مسائل موجود برای بررسی در پژوهش‌های آینده، استخراج یک کنترلر مقاوم نسبت به عدم قطعیت‌های سیستم با مکانیزمی برای جبران تأخیر^{۱۵} و همچنین اثبات پایداری سیستم مدار بسته تحت این کنترلر است.

پانوشت‌ها

1. Sloshing
2. De Saint-Venant
3. Shallow-Sloshing
4. Spillover Instability
5. Boundary Feedback
6. Thruster
7. Cooker's Equation
8. PDE-ODE Cascade
9. Spill-Free
10. LaSalle's Invariance Principle
11. Fully Implicit
12. Dissipative
13. Settling Time
14. Maximum Under-Shoot
15. Delay-Compensated

منابع (References)

1. Jokar, M., Salarieh, H. and Pishkenari, H.N., 2022. Satellite attitude PDE-based controller design considering fluid fuel sloshing in planar maneuver. *Aerospace Science and Technology*, 122, 107366. <https://doi.org/10.1016/j.ast.2022.107366>.
2. Navabi, M. and Davodi, A., 2019. Modeling of fuel sloshing in a spacecraft and control it by active control method using nonlinear control. *Modares Mechanical Engineering*, 19(9), pp.2121-8. <http://dorl.net/dor/20.1001.1.10275940.1398.19.9.2.2>.
3. Berger, T., Puche, M. and Schwenninger, F.L., 2022. Funnel control for a moving water tank. *Automatica*, 135, 109999. <https://doi.org/10.1016/j.automatica.2021.109999>.
4. Moriello, L., Biagiotti, L., Melchiorri, C. and Paoli, A., 2018. Manipulating liquids with robots: A sloshing-free solution. *Control Engineering Practice*, 78, pp.129-41. <https://doi.org/10.1016/j.conengprac.2018.06.018>.
5. Kim, Y., Nam, B., Kim, D. and Kim, Y., 2007. Study on coupling effects of ship motion and sloshing. *Ocean Engineering*, 34(16), pp.2176-87. <https://doi.org/10.1016/j.oceaneng.2007.03.008>.
6. De St Venant, B., 1871. Theorie du mouvement non-permanent des eaux avec application aux crues des rivers et a l'introduction des Marees dans leur lit. *Academie de Sci Comptes Redus*, 73(99), pp.148-54.
7. Ardakani, H.A. and Bridges, T.J., 2010. Dynamic coupling between shallow-water sloshing and horizontal vehicle motion. *European Journal of Applied Mathematics*, 21(6), pp.479-517.
8. Bresch, D., Noble, P. 2007. Mathematical justification of a shallow water model. *Methods and Applications of Analysis*, 14(2), pp.87-118.
9. Chin-Bing, S., Jordan, P. and Warn-Varnas, A., 2011. A note on the viscous, 1D shallow water equations: Traveling wave phenomena. *Mechanics Research Communications*, 38(5), pp.382-7. <https://doi.org/10.1016/j.mechrescom.2011.05.003>.
10. Zhang, T. and Yang, J., 2019. Nonlinear dynamics and robust control of sloshing in a tank. *Journal of Vibration and Control*, 25(1), pp.132-40. <https://doi.org/10.1177/1077546318772256>.
11. Alshaya, A. and Alshayji, A., 2021. Robust multi-steps input command for liquid sloshing control. *Journal of Vibration and Control*, 10775463211017721. <https://doi.org/10.1177/10775463211017721>.
12. Hamaguchi, M., 2019. Damping control of sloshing in liquid container in cart with active vibration reducer: The case of a curved path on a horizontal plane. *IEEE/ASME Transactions on Mechatronics*, 24(1), pp.361-72. <https://doi.org/10.1109/TMECH.2019.2892089>.
13. Han, Z., Liu, Z., Kang, W. and He, W., 2021. Boundary feedback control of a nonhomogeneous wind turbine tower with exogenous disturbances. *IEEE Transactions on Automatic Control*, 67(4), pp.1952-9. <https://doi.org/10.1109/TAC.2021.3071021>.
14. Ataei, M.M., Nejat, H. and Salarieh, H., 2022. Simultaneous attitude and bending-torsional-vibration control of a satellite with multi-section flexible panels using PDE based boundary control-observer. *Sharif Journal of Mechanical Engineering*.
15. Saltari, F., Traini, A., Gamboli, F. and Mastroddi, F., 2021. A linearized reduced-order model

- approach for sloshing to be used for aerospace design. *Aerospace Science and Technology*, 108, 106369. <https://doi.org/10.1016/j.ast.2020.106369>.
16. Bastin, G., Coron, J.M. and Hayat, A. 2021. Feed-forward boundary control of 2×2 nonlinear hyperbolic systems with application to Saint-Venant equations. *European Journal of Control*, 57, pp.41-53. <https://doi.org/10.1016/j.ejcon.2020.11.002>.
 17. Coron, J.M., Hayat, A., Xiang, S. and Zhang, C., 2022. Stabilization of the linearized water tank system. *Archive for Rational Mechanics and Analysis*, 244(3), pp.1019-97. <https://doi.org/10.48550/arXiv.2103.08293>.
 18. Diagne, A., Diagne, M., Tang, S. and Krstic, M., 2017. Backstepping stabilization of the linearized Saint-Venant-Exner model. *Automatica*, 76, pp.345-54. <https://doi.org/10.1016/j.automatica.2016.10.017>.
 19. Diagne, M., Tang, S.X., Diagne, A. and Krstic, M., 2017. Control of shallow waves of two unmixed fluids by backstepping. *Annual Reviews in Control*, 44, pp.211-25. <https://doi.org/10.1016/j.arcontrol.2017.09.003>.
 20. Hayat, A. and Shang, P., 2019. A quadratic lyapunov function for Saint-Venant equations with arbitrary friction and space-varying slope. *Automatica*, 100, pp.52-60. <https://doi.org/10.1016/j.automatica.2018.10.035>.
 21. Karafyllis, I., Vokos, F. and Krstic, M., 2022. Feedback stabilization of tank-liquid system with robustness to wall friction. *ArXiv Preprint PrXiv*, 220601385. <https://doi.org/10.1051/cocv/2022076>.
 22. Karafyllis, I. and Krstic, M. 2022. Spill-free transfer and stabilization of viscous liquid. *IEEE Transactions on Automatic Control*, 67(9), pp.4585-4597. <https://doi.org/10.1109/TAC.2022.3162551>.
 23. Keighobadi, J., KhalafAnsar, H.M. and Naseradinmousavi, P., 2022. Adaptive neural dynamic surface control for uniform energy exploitation of floating wind turbine. *Applied Energy*, 316, 119132. <https://doi.org/10.1016/j.apenergy.2022.119132>.
 24. Moghanni-Bavil-Olyaei, M.R., Keighobadi, J., Ghanbari, A. and Olegovna Zekiy, A., 2022. Passivity-based hierarchical sliding mode control/observer of underactuated mechanical systems. *Journal of Vibration and Control*, 10775463221091035. <https://doi.org/10.1177/10775463221091035>.
 25. Jokar, M., Salarieh, H. and Pishkenari, H.N., 2022. Observer-based boundary feedback control for attitude tracking of rigid bodies with partially liquid-filled cavities. *Aerospace Science and Technology*, 108068. <https://doi.org/10.1016/j.ast.2022.108068>.
 26. Ardakani, H.A., 2010. Rigid-body motion with interior shallow-water sloshing: University of surrey (United Kingdom).
 27. Khalil, H.K., 2015. Nonlinear control: Pearson New York. 406.